

# Ingegneria Fluviale ed Impianti Idroelettrici

## Obiettivi formativi

Il corso di Ingegneria Fluviale e Impianti Idroelettrici approfondisce le conoscenze di base incontrate nel corso di Idraulica, ampliandone la visione teorico-interpretativa per arrivare a considerazioni essenziali per la figura dell'ingegnere. I temi principali del corso sono le acque superficiali (Correnti a superficie libera) e il moto vario nelle correnti in pressione (Colpo d'ariete). Data l'importanza della sperimentazione di laboratorio nei problemi idraulici, un altro argomento centrale è la teoria della modellazione; sono previste delle lezioni ed esercitazioni relative alla modellazione fisica e numerica di fenomeni idraulici (Similitudine e Modelli). Nel corso si affronterà il dimensionamento idraulico delle briglie aperte o selettive e verranno descritti e analizzati gli impianti Idroelettrici ad alta caduta e piccola portata. Il corso prevede, oltre alle ore di lezione, alcune ore di esercitazione per l'applicazione delle nozioni teoriche a problemi reali che possono interessare l'ingegnere civile.

La modalità di verifica finale prevede il sostenimento di una prova orale finalizzato ad accertare il livello di conoscenza e di comprensione raggiunto dallo studente dopo aver studiato la disciplina nonché di applicare le conoscenze acquisite e di individuare autonomamente soluzioni a problemi idraulici.

L'esame si esplica mediante una discussione di circa trenta minuti incentrata su almeno tre domande relative a diversi argomenti indicati nel programma della disciplina ed illustrati nel corso delle lezioni. Più specificatamente le domande saranno differenziate per grandi argomenti: idrostatica, idrodinamica, il moto vario nelle correnti in pressione, correnti a superficie libera.

## Programma dettagliato

### Proprietà e statica dei fluidi (1 credito)

Definizione di liquido. Grandezze dell'idraulica. Densità e peso specifico. Comprimibilità. Viscosità. Regimi di movimento. Sforzi interni nei liquidi in quiete. Equazione indefinita dell'idrostatica. Carico piezometrico. Strumenti di misura delle pressioni. Spinta su superfici piane. Equazione globale dell'equilibrio idrostatico. Spinta su superfici curve. Equilibrio dei corpi immersi. Stabilità dei corpi galleggianti.

### Liquidi perfetti (1 credito)

Velocità e accelerazione. Elementi caratteristici del moto: traiettorie, linee di corrente. Tipi di movimento. Equazione di Eulero. Proiezione dell'equazione di Eulero lungo la tangente, la normale e la binormale di un punto di una traiettoria. Distribuzione della pressione nel piano normale. Correnti lineari. Il teorema di Bernoulli: interpretazione geometrica ed energetica del teorema di Bernoulli; applicazione del teorema di Bernoulli a processi di efflusso. Potenza di una corrente. Estensione del teorema di Bernoulli ad una corrente. Equazioni del moto vario per liquido perfetto: integrazione lungo una traiettoria e lungo una linea di corrente. Studio dell'avviamento del moto in una condotta. Studio delle oscillazioni di un pozzo piezometrico. Equazioni globali di equilibrio in condizioni dinamiche. Azioni dinamiche sulle turbine Pelton. Stramazzi: stramazzo Bazin; diga tracimante; stramazzo in parete grossa.

### Modelli idraulici (0.5 crediti)

Analisi dimensionale: teorema Buckingham e sue applicazioni. Cenni sui modelli idraulici. Similitudine di Reynolds. Similitudine di Froude.

### Fluidi reali (1 credito)

Equazione di Navier-Stokes. Equazione globale di equilibrio per un liquido reale. Applicazione dell'equazione di Navier al moto laminare: moto tra due piastre; moto in condotta circolare; moto in sezione rettangolare larga. Il moto turbolento: esperienza di Reynolds; equazione di equilibrio globale per il moto turbolento; genesi delle tensioni turbolente; distribuzione della velocità nella sezione circolare; indice di resistenza e sue espressioni per il tubo liscio e il tubo scabro; diagrammi di velocità in funzione dei parametri caratteristici del moto turbolento; formula di Colebrook; diagramma di Moody; problemi di progetto e di verifica risolti con il diagramma di Moody e con curve ausiliarie; dipendenza della perdita di carico per unità di lunghezza di tubazione dal diametro e dalla portata per i diversi tipi di moto; formule pratiche per il moto turbolento.

### Moto vario nelle correnti in pressione (1 credito)

Impianti Idroelettrici. Il colpo d'ariete: descrizione del fenomeno; equazione del moto; equazione di continuità; integrali generali del colpo d'ariete; equazioni concatenate; determinazione del sovraccarico all'otturatore e in una generica sezione; formula di Allievi-Michaud.

**Correnti a pelo libero (1,5 crediti)**

Generalità. Il moto uniforme; caratteristiche energetiche della corrente in una sezione; alvei a debole e forte pendenza; carattere cinematico dei due tipi di movimento; correnti in moto permanente; profili del pelo libero; risalto idraulico. Esempi Applicativi

**Testi consigliati**

*D. Citrini e G. Noseda*, Idraulica, Casa Editrice Ambrosiana Milano.

*Marchi - Rubatta*. Meccanica dei Fluidi, Ed. UTET.

*FERRO V.*, La sistemazione dei bacini idrografici. McGraw-Hill..

# LEZIONE N° 1

02/03/2014

## UNITÀ di MISURA

GRANDEZZE FONDAMENTALI	SISTEMA INTERNAZIONALE SI			SISTEMA TECNICO ST			DIMENSIONE UNITÀ di MISURA
	[M]	[L]	[T]	[F]	[L]	[T]	
	Kg <small>MASSE</small>	m	s	Kg <small>FORZA</small>	m	s	unità di misura

### CINEMATICHE



sono uguali sia nel SI che nel ST  
che dipendono solo dalla lunghezza e del tempo

### GRANDEZZE



### DINAMICHE



sono diverse nel SI e in questo ST  
dipendono dalla massa e dalla forza

### GEOMETRICHE



sono uguali sia nel SI che nel ST  
che dipendono solo da [L] e da [T]

- tempo  $t$ ;  $[T]$ ; s
- velocità  $v, v'$ ;  $[L][T]^{-1}$ ; m/s
- accelerazione  $a, g, A$ ;  $[L][T]^{-2}$ ;  $m/s^2$
- portata  $Q$ ;  $m^3/s$
- viscosità cinetica  $\eta$ ;  $m^2/s$

- lunghezza  $L$ ;  $[L]$  m
- area  $A$ ;  $[L]^2$   $m^2$
- volume  $V$ ;  $[L]^3$   $m^3$

### GRANDEZZE DINAMICHE nel SI

- massa  $m$ ;  $[M]$ ; Kg MASSA
- forza  $F$ ;  $[M][L][T]^{-2}$ ;  $Kg \cdot m/s^2 = N$
- peso specifico  $\gamma$ ;  $[M L^{-2} T^{-2}]$ ;  $N/m^3$
- densità  $\rho$ ;  $[M L^{-3}]$ ;  $Kg/m^3$
- viscosità dinamica  $\mu$ ;  $[M L^{-1} T^{-1}]$   $N \cdot s/m^2$
- pressione  $P$ ;  $[M L^{-1} T^{-2}]$   $N/m^2$
- modulo di elasticità a compressione  $E$ ;  $[M L^{-2} T^{-2}]$   $N/m^2$
- tensione superficiale  $S$   $[M T^{-2}]$   $N/m$

### GRANDEZZE DINAMICHE nel ST

- forza  $F$ ;  $Kg$  FORZA
- massa  $m$ ;  $Kg \cdot s^2/m$
- peso specifico  $\gamma$ ;  $Kg/m^3$
- densità  $\rho$ ;  $Kg \cdot s^2/m^4$  MASSA
- viscosità dinamica  $\mu$ ;  $Kg \cdot s/m^2$ ;  $\mu = \frac{F}{A} = \frac{F \cdot s}{m^2}$
- pressione  $P$ ;  $Kg \cdot s/m^2$  xche
- $$P = \frac{F}{A} = \frac{F \cdot s}{m^2} = \frac{Kg \cdot s^2}{m^2} = \frac{kg}{m^2}$$

$$\gamma = \rho \cdot g \Rightarrow \rho = \frac{\gamma}{g}$$

PESSO SPECIFICO  $\gamma$ : rappresenta il peso nell'unità di volume

$$\text{SI}: \gamma = \frac{P}{W} = \frac{m \cdot g}{W} = p \cdot g = 1000 \cdot 9,81 \frac{\text{N}}{\text{m}^3} = 9806 \text{ N/m}^3$$

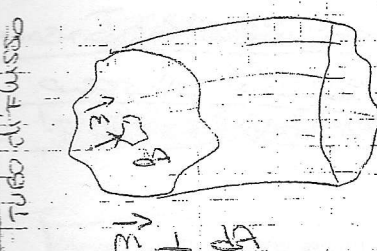
$$\text{ST}: \gamma = \frac{P}{W} = \frac{m \cdot g}{W} = p \cdot g = \frac{1000 \cdot 9,81 \frac{\text{Kg}}{\text{m}^3} \cdot 9,81 \frac{\text{m}}{\text{s}^2}}{9,81} = 1000 \frac{\text{Kg}}{\text{m}^3}$$

$$g = \frac{\gamma}{p} = \frac{1000}{9,81} = 102 \frac{\text{Kg}}{\text{m}^3}$$

$$6 \text{ Hg} \rightarrow \text{SI} = 133,300 \text{ N/m}^3$$

$$6 \text{ Hg} \rightarrow \text{ST} = 133,300 / 9,81 \text{ Kg/m}^3$$

PORTATA Q: considerando una corrente e una generica linea attiva, delle linee di corrente (linee da cui in ogni punto il versore velocità è tangente a queste ultime) si individua un elemento di superficie infinitesimo  $dA$ . È considerato la sezione  $m$  con  $m \perp dA$ .



$$Q = V A$$

$$dQ = \bar{V} dA$$

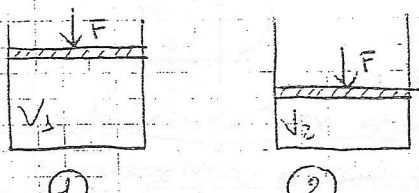
$$Q = \int \bar{V} dA$$

$\bar{V}$  = donna singola particella

$V$  = donna media

$$\text{donna media } V = \frac{Q}{A}$$

Modulo di elasticità a compressione cubica E: è un modulo che rappresenta la costituzionalità dei fluidi. Considerando un recipiente (1) con dell'acqua chiuso ed esercitato una forza  $F$  (x cui la pressione si incrementa). Si passerà quindi alla situazione (2) in cui il liquido avrà un volume  $V_2 \neq V_1$ .



$$\Delta V = V_2 - V_1 \quad \text{per cui} \quad \Delta V = - \frac{V_1 \Delta P}{E}$$

La variazione di volume è proporzionale alla variazione di pressione dovuta alla forza di volume iniziale ed inversamente proporzionale a  $E$ , il quale serve a compensare perché  $V_2 < V_1$ .

$$E = - \frac{\Delta P}{\Delta V}$$

$$- \frac{\Delta V}{V_1}$$

$$E_{H_2O} = 2 \cdot 10^9 \text{ N/m}^2 \rightarrow \text{SI}$$

$$E_{H_2O} = 2 \cdot 10^8 \text{ Kg/m}^2 \rightarrow \text{ST}$$

Da qui si vede che ha le dimensioni di una pressione.

la massa di  $H_2O$  dentro il recipiente è stata compressa e quindi il volume è variato, se la massa è sempre la stessa, ovvero la massa è un invariante:

$$m = pV = \text{cost} \quad \text{quindi la sua variazione è } = 0$$

$$dm = dpV + pdV = 0$$

$$\frac{dV}{V} = -\frac{dp}{p} \quad \text{sostituendo *}$$

$$\varepsilon = +P \frac{dp}{dp}$$

Se vi ricordate, in idraulica I considerando il fluido incompressibile, per vedere se il fluido è incompressibile bisogna prendere una grande variazione di pressione.

**Celerità C** rappresenta la velocità con cui si propagano le onde sonore all'interno di una massa fluida.

$$C = \sqrt{\frac{\varepsilon}{\rho}} \approx 1400 \text{ m/s} \rightarrow \text{rappresenta quindi la velocità con cui si propagano le piccole variazioni di pressione all'interno della massa fluida}$$

$$\varepsilon = P \frac{dp}{dp} = C^2 \rho$$

dove che il fluido è incompressibile vuol dire che

la densità non varia ovvero la variazione di  $\rho$  è  $= 0$

e quindi  $\varepsilon = 0$  e anche  $C = 0$ ; quindi dunque

il fluido è incompressibile significa che la

variazione di pressione in un punto si trasmette

istantaneamente in tutti i punti della massa fluida perché  $\varepsilon = 0$

dato che  $C = 0$ . Se la massa è piccola possono ancora considerare il

fluido incompressibile perché la velocità di propagazione  $C = 1400 \text{ m/s}$ , quindi rispetto alla massa è una velocità molto alta.

È possibile leggere, inoltre, l'incompressibilità alla causa perturbatrice

ad esempio a come avviene la variazione di pressione: se la variazione è

graduale si può considerare un fluido incompressibile perché la variazione di

pressione ha il tempo di propagarsi in tutta la massa fluida. (nella lingua

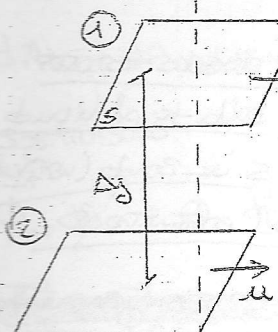
corrente noi si può così dire che  $P = \text{cost}$ ).

$$\left\{ \begin{array}{l} \rho = \text{cost} \\ \delta p = 0 \\ \varepsilon = 0 \\ C = 0 \end{array} \right. \rightarrow \begin{array}{l} \text{fluido} \\ \text{incompressibile} \end{array}$$

Fluido in quiete: forze normali  
in movimento: " " " e tangenziali.

### VISCOSITÀ DINAMICA $\mu$ :

nel caso di fluido in quiete ci saranno solo le componenti orizzontali degli sforzi, se il fluido è in movimento ci saranno non solo forze normali ma anche tangenziali; consideriamo due camere d' $H_2O$ : la lamina d' $H_2O$  in movimento esercita una forza sul resto del tubo via sila verso in movimento.



la velocità di 1 > velocità di 2 quindi 1 trascina 2 e 2 frena 1 a causa della viscosità dinamica  $\mu$ .

(le velocità sono diverse perché i punti sono diversi; solo la velocità media è uguale).

NASCERÀ UNA FORZA (o di TRASCIANTE O RESISTENZA):

$$T = \mu \frac{du}{dy}$$

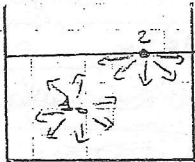
$S = \text{superficie libera}$

lo sforzo tangenziale  $T = \frac{T}{A} = \mu \frac{du}{dy}$

viscosità dinamica  $\mu = \frac{\nu}{\rho} = 10^{-6} \text{ m}^2/\text{s} \approx 1 \text{ H}_2\text{O}$

TENSIONE SUPERFICIALE  $S$

rappresenta le forze di coazione tra le molecole superficiali di un fluido fluido. così definito a regime costante il fluido:



la particella 1 è in equilibrio perché tutte le forze sono bilanciate dalla presenza di altre particelle che la circondano; la particella 2 invece ha una risultante verso il basso perché sopra c'è aria.

$S$  ha le dimensioni  $\text{N/m}$ . se prendiamo una bolla di sapone e calcoliamo rispetto a  $S$ , iniziamo a voltarla, prima ha un'area  $A_1$  e poi  $A_2$ ; e quindi possiamo scrivere  $S = \text{tensione} \times \text{lunghezza}$ :

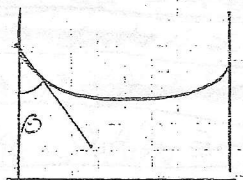
$$S = \frac{L}{A} = \frac{\text{N} \cdot \text{m}}{\text{m}^2} = \text{N/m}$$

$$L = \text{lunghezza} \times \text{lunghezza da } A_1 \text{ a } A_2.$$

la forza di coesione nell' $H_2O$  è piccola; è grande la forza di attrazione - ricevuta nel terreno.

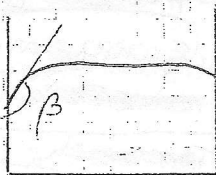
- forza di adesione = forza tra le particelle e non due le sostanze

Forze di coesione = forze tra le molecole di liquido



$H_2O$

$\beta < 90^\circ$



$Hg$

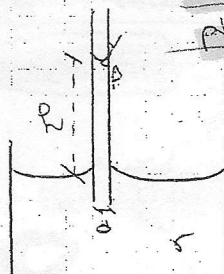
$\beta > 90^\circ$

$\beta = \text{angolo liquido}$

della legge del liquido  
Si è Bruto (verticale)  
del contenitore.

### CAPILLARITÀ

= la capillarità è legata alla tensione superficiale. Essa rappresenta la risultante dell' $H_2O$  attraverso un tubino; tanto più il tubino è piccolo + alta sarà l'altezza di risalita.



$$R = \frac{4 \cdot S \cos \beta}{\sigma d}$$

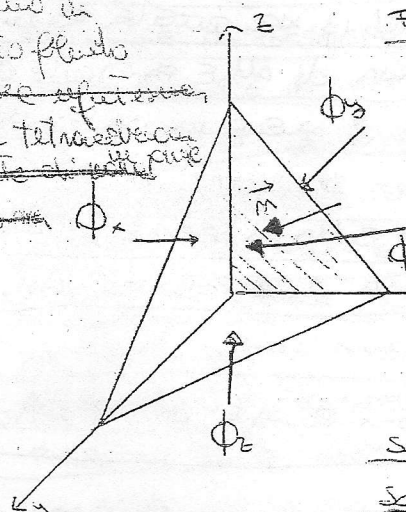
$S$  = TENSIONE superficiale.  
 $d$  = DIAMETRO tubino

### TEOREMA DEL TETRAEDRO di Cauchy o TETRAEDRO DEGLI Sforzi

consideriamo una massa fluida e un elemento di superficie, su questo elemento agiranno delle forze tangenziali che daranno origine ad uno sforzo di tensione:

$\vec{\phi} = \frac{d\vec{F}}{da} *$  → lo sforzo è un vettore; si definisce considerando in una massa fluida un tetraedro (elementare) infinitesimo per cui all'uno 4

verso un  
vettore fluido  
in massa superficiale  
verso tetraedrica  
verso fluido  
verso massa



FACCE: una forza  $yz \perp$  all'asse delle  $x$ , una  $yx \perp$   
all'asse delle  $z$  e una  $xz \perp$  all'asse delle  $y$  e  
poi una faccia di notte  $m$  che interseca i 3 assi.

Se questo elemento agirano delle forze di

MASSE e forze di superficie e, valendo il 2°

principio della dinamica  $F = m \cdot a$ , ed escludendo

la massa fluida in quiete ( $a=0$ ), la somma

dei vettori delle forze di massa e di quelle di

superficie saranno  $\Sigma F_i = 0$ ; inoltre forze di massa

sono trascurabili ( $p_0 \text{ da}$ ) perché essendo infinitesimi il

volumen sono anch'esse infinitesime del 3° ordine.

Quindi  $\sum_i F_i = 0$  e da \* si ha (per correnti):

$$\vec{\phi}_1 dA_x + \vec{\phi}_2 dA_y + \vec{\phi}_3 dA_z + \vec{\phi}_m dA_m = 0$$

$$dA_x = -dAm \cos \hat{m} \quad \text{in senso -x è } \hat{m} \text{ mix oroso}$$

$$dA_y = -dAm \cos \hat{m}$$

$$dA_z = -dAm \cos \hat{m}$$

con  $\hat{m} \perp \vec{dA}$

sostituisco:

$$\vec{\Phi}_m dA_m = \vec{\Phi}_x dA_m \cos \hat{m} + \vec{\Phi}_y dA_m \cos \hat{m} + \vec{\Phi}_z dA_m \cos \hat{m}$$

$$\vec{\Phi}_m = \vec{\Phi}_x \cos \hat{m} + \vec{\Phi}_y \cos \hat{m} + \vec{\Phi}_z \cos \hat{m} \quad (1)$$

Proietto la (1) lungo i 3 assi:

$$\Phi_{mx} = \phi_{xx} \cos \hat{m} + \phi_{yy} \cos \hat{m} + \phi_{zz} \cos \hat{m}$$

$$\Phi_{my} = \phi_{xy} \cos \hat{m} + \phi_{yy} \cos \hat{m} + \phi_{yz} \cos \hat{m}$$

$$\Phi_{mz} = \phi_{xz} \cos \hat{m} + \phi_{yz} \cos \hat{m} + \phi_{zz} \cos \hat{m}$$

Abbiamo 9 componenti del vettore degli sforzi; tuttavia le componenti su evidenziano a 6 voci:

$$\phi_{yx} = \phi_{xy}$$

$$\phi_{zx} = \phi_{xz}$$

$$\phi_{zy} = \phi_{yz}$$

COMPONENTI TANGENZIALI

PRINCIPIO DI RECIPROCAZIA  
DALLE AZIONI TANG.

Essendo il fluido in quiete avrà solo sforzi normali ( $\phi_{xx}, \phi_{yy}, \phi_{zz}$ ) e non c'è corrispondente tangenziale ( $\phi_{xy}, \phi_{yz}, \phi_{zx}$ )

$$\phi_{mx} = \phi_{xx} \cos \hat{m}$$

$$\phi_{my} = \phi_{yy} \cos \hat{m}$$

$$\phi_{mz} = \phi_{zz} \cos \hat{m}$$

$$\phi_{mx} = \phi_m \cos \hat{m}$$

$$\phi_{my} = \phi_m \cos \hat{m} \Rightarrow$$

$$\phi_{mz} = \phi_m \cos \hat{m}$$

$$\phi_{xx} \cos \hat{m} = \phi_m \cos \hat{m}$$

$$\phi_{yy} \cos \hat{m} = \phi_m \cos \hat{m}$$

$$\phi_{zz} \cos \hat{m} = \phi_m \cos \hat{m}$$

avendo

$$\phi_m = \phi_{xx} = \phi_{yy} = \phi_{zz} = P$$

$P$  = SFORZO DI PRESSIONE

RASSURGENDO:

Abbiamo un sforzo cui agisce su facce di differenti

DIVERSAMENTE INCLINATE; Essendo l'elemento considerato infinitesimo è possibile assumere ad  $\vec{m}$  pure è quindi

$P$  rappresenta il tensione dello Stazzo (u' nodulo)  $\frac{P}{\text{della Stazzo}}$

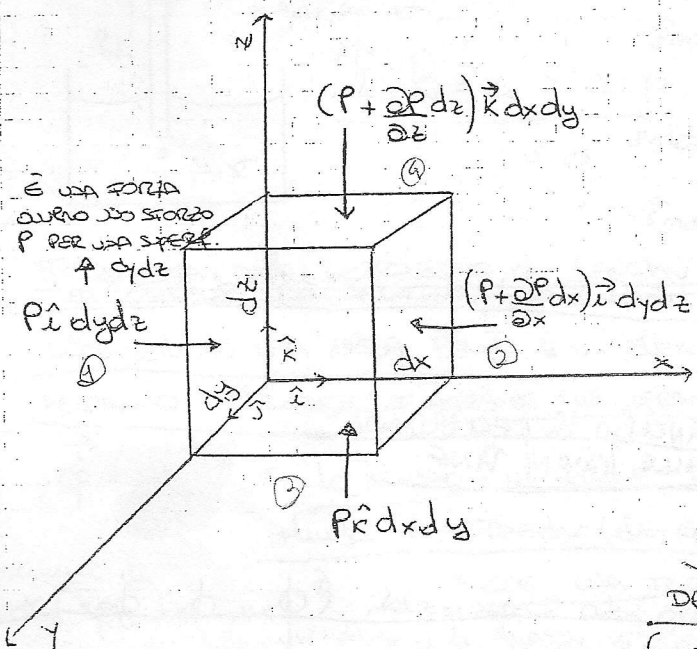
nel caso di fluido in quiete (non esistono forze tangenziali tra sbarri notabili)  $P$  ha la stessa direzione di  $\vec{n}$  ovvero essendo sempre ortogonale alla superficie.

N.B.: lo Stazzo è solo funzione del posto considerato non dipende dalla stazza del piano e  $P$  rappresenta il nodulo dello Stazzo, ovvero quanto questo ultimo è grande.

LEZIONE N° 2

08/03/2011

### Legge di Stevino



Per determinare il valore della pressione all'interno della massa fluidi contenuta in un volume elementare in quiete! su questo corpo possono farle di massa e forze di superficie, e la cui azione ( $\times$  la 2<sup>a</sup> princ. della dinamica) è uguale a zero.

$$F = m \cdot \omega = 0 \quad \times \vec{k} \quad \omega = 0$$

Indicando con  $\vec{R}$  = la risultante delle forze di massa + forza di massa (in pratica avrà le dimensioni di una accelerazione) le cui componenti rispetto

$$\vec{R} = X_i \hat{i} + Y_j \hat{j} + Z_k \hat{k}$$

RISULTANTE

→ nelle assi sono:

la massa pari alla densità per il volume è quindi:

$$M = \rho R dx dy dz$$

al risultato agiranno anche forze di superficie avuto tutte le forze che l'ambiente stesso esercita sul volume (quelle in nero nel disegno). Essendo in quiete la somma di forze di massa e di superficie dovrà essere uguale a zero:

$$\sum_i F_i = 0$$

Proiettando lungo  $\times$  e lungo  $\circ$

$$\rho X dx dy dz + \cancel{\rho dy dz} - \cancel{\rho dx dz} - \frac{\partial p}{\partial x} dx dy dz = 0$$

Proiettando lungo gli altri assi trovi:

$$\begin{cases} \rho X = \frac{\partial p}{\partial x} & \rightarrow \text{moltiplico} \times dx \rightarrow \rho X dx = \frac{\partial p}{\partial x} dx \\ \rho Y = \frac{\partial p}{\partial y} & \rightarrow \text{moltiplico} \times dy \rightarrow \rho Y dy = \frac{\partial p}{\partial y} dy \\ \rho Z = \frac{\partial p}{\partial z} & \rightarrow \text{moltiplico} \times dz \rightarrow \rho Z dz = \frac{\partial p}{\partial z} dz \end{cases}$$

SOTTOVIA  
TENGO  
A  
TENGO

$$p(Xdx + Ydy + Zdz) = \frac{\partial p}{\partial x} dx + \frac{\partial p}{\partial y} dy + \frac{\partial p}{\partial z} dz$$

$\frac{\partial p}{\partial x} dx + \frac{\partial p}{\partial y} dy + \frac{\partial p}{\partial z} dz$  è un differenziale esatto della pressione  $p$ , avendo la parte  $d$  di  $dp$ . Ma se il secondo termine dell'equazione non è un differenziale esatto, lo deve essere anche il primo termine.

Quindi deve essere la prima da cui

$$Xdx + Ydy + Zdz = du$$

E quindi posso scrivere

$$\rho du = dp \quad (1) \quad \text{com} \quad \begin{cases} X = \frac{\partial p}{\partial x} \\ Y = \frac{\partial p}{\partial y} \\ Z = \frac{\partial p}{\partial z} \end{cases}$$

EQUAZIONE INFINITA DELLA STANZA DEI FLUIDI

LA (1) la posso scrivere anche:

$$du = \frac{dp}{\rho}$$

Poco tutto al 1 tenendo  $\rho$  fissa  $\rho$  all'interno della  
distribuita cioè  $\rho = \text{cost}$  avendo considerato il fluido  
INCOMPRESSIBILE

$$d\left(\mu - \frac{p}{\rho}\right) = 0 \quad \text{nel campo GRAZIAZZONE TERRESTRE} \quad \sqrt{\mu} = -g z$$

$$d\left(-gz - \frac{p}{\rho}\right) = 0 \quad \text{divido} \times g$$

$$\text{con } \rho g = \gamma$$

$$\frac{d(z + \frac{P}{\gamma})}{dx} = 0$$

SE LA DERIVATA DELLA QUOTIENTE TRA PARENTESI È NULLA ALLORA LA QUOTIENTE TRA PARENTESI È COSTANTE!

$$z + \frac{P}{\gamma} = \text{cost}$$

$\rightarrow$  LEGGE DI STEVINO

$z$  = quota geodetica

$\frac{P}{\gamma}$  = altezza piezometrica

$z + \frac{P}{\gamma} = h = \text{carico piezometrico}$

A legge di Stevino ci dice che il carico piezometrico all'interno di una massa fluida omogenea si mantiene costante in tutti i punti della massa stessa.

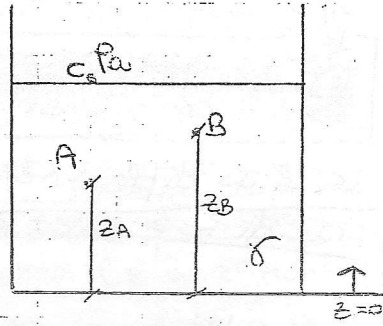
CASE DI PUNTO 1) RECIPIENTE CHIUSO E VUOTO DELL'ACQUA  
I punti A e B sono fissati sul fondo (il sistema di riferimento lo posso scegliere dove voglio).

Anche se i punti A e B hanno quote diverse ( $z_A$  e  $z_B$ ) e pressioni diverse ( $P_A$  e  $P_B$ ) si verifica che:

$$z_A + \frac{P_A}{\gamma} = z_B + \frac{P_B}{\gamma}$$

Quindi se ad esempio conosciamo  $P_B$  posso ricavare:

$$P_A = (z_B - z_A)\gamma + P_B$$



La particella A sarà soggetta ad una determinata pressione data dal peso del liquido che si trova al di sopra; in C che pressione ci sarà?? Ancora C avrà una pressione che è a contatto con l'atmosfera e  $1 \text{ m}^3$  di aria pesa all'incirca 1 kg e l'area d'incidenza di altezza  $x$  cui se forza  $1000 \times 1 \text{ m}^2$  ABSORBO UN'ENERGIA di  $10.000 \text{ kg/m}^2$  che è pari alla pressione atmosferica che si può esprimere:

$$P_a = 101.250 \text{ N/m}^2$$

$$1 \text{ bar} = 10^5 \text{ Pa} = 10^5 \text{ N/m}^2$$

$$1 \text{ atm} = 1 \text{ kg/cm}^2 \approx 1 \text{ bar}$$

6

per espirarla in <sup>m</sup>dossa d' $H_2O$  o in colonia di Hg BASSA dividere  
dal respiro calente per 9806 o 13330.

se divide la  $P_0$  per 10,33 m di colonna d' $H_2O$  si ha  $\frac{P}{10,33}$

Si parla quindi anche la pressione dell' $H_2O$  cui sia superiore alla pressione atmosferica; dunque parlane quindi di pressione assoluta e pressione relativa.

$$P^* = P_{\text{ex}} + P$$

$P^*$  = pressure assidus

$$P = P^+ - P^-$$

Pa = PRESSURE ATMOSPHERIC

$P = \text{Passage number (cell thro)}$

DOMANDA: Qual è il ruolo salvo cui può essere?

CONSIDERACOES & RECOMENDACOES CRITICAS CONSTRUTIVAS

H<sub>2</sub>O. al vertice in cui c'è uno recipiente, nella parte dove c'è l'aria lo ha la pressione atmosferica; soprattutto di creare il vuoto, avendo aspirato in tutta l'aria : la pressione assoluta

A photograph of a page from a notebook. The page contains handwritten text and several hand-drawn arrows pointing to the right. At the top right, there is a circled 'P.' followed by a circled '10'. In the bottom left corner, there is a circled 'q'. In the bottom center, there is a circled 'a'. The rest of the page is filled with faint, illegible handwriting and numerous hand-drawn arrows pointing towards the right edge of the page.

E nulla / con particella che si trova all'interno

della massa d'acqua possiede energia cinetica che dipende dalla temperatura, in particolare aumentando la temperatura aumenta l'energia cinetica e quindi alcune particelle riescono a spaccarsi dalle altre e si portano allo stato di vapore. Considerate dopo che la particella si è staccata ha subito una massa d'acqua minore e quindi il suo abbassamento di temperatura)

Al risciacquo in cui (E PARTECIPATE D'  $H_2O$  STATO DI Vapore) non aumenta più  $P^*=0$  ma una pressione diversa  $P_V$  che è la pressione di vapore, ad es. (cioè dato dopo un tempo molto grande si raggiungerà un equilibrio dinastico) tra le particelle che passano dallo stato di vapore allo stato liquido: il vapore si è saturato!

$$P_{VS}(T) = \text{PRESSIONE di VAPORI SATURATI} \quad (f_{cav} \text{ della TEMP})$$

C'È UNA LEGGE CHE CI DICE CHE

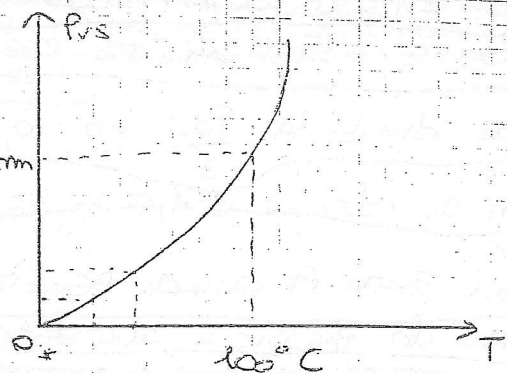
$$P_{VS}(T_{H_2O}) = 611 \exp\left(\frac{17,27 - T}{237,3 + T}\right)$$

$$760 \text{ mmHg} = 1 \text{ atm}$$

se sostituito 100°C b

$$P_{VS} = 101250 \text{ N/m}^2$$
 meno che

PRESSIONE ATMOSFERICA



DAL GRAFO NOTATO CHE + LA TEMPERATURA CRESCE E + LA PRESSIONE

AUMENTA VICEVERSA SE LA PRESSIONE E + BASSA LA TEMPERATURA DI SOTTOLAZIONE E + BASSA (IN COMPAGNA  $H_2O$  BOLLE PIÙ TAVO)

TUTTA QUESTA SPIEGAZIONE X DIRE CHE LA PRESSIONE ASSOLUTA

PIÙ SCENDERE AL DI SOTTO DELLO ZERO; ADDIRITTURA È UN TIPO DI FERITE FARLA AVVICINARE ALLO ZERO INFATI:

$$P^* \in [0, +\infty[$$

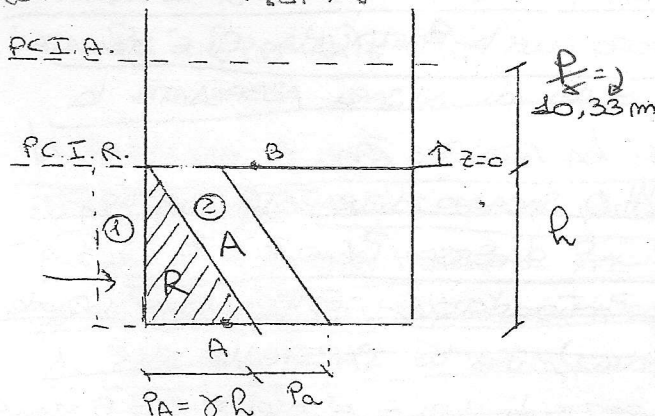
$$\text{PER } P^* = 0 \Rightarrow P = P_{VS} \rightarrow P^* = 0 \text{ } H_2O \text{ È LA PRESSIONE DENTRO SOLI } \{\}$$

Subito solle

RISPOSTA: LA PRESSIONE RELATIVA È AL MINIMO POSSIBILE ALLA PRESSIONE ATMOSFERICA  
XKE NON POSSIAMO AVERE  $P^* < 0$  XKE  $P^* \leq 0$   $H_2O$  PERMETTEVA DI EVAPORARE. SI POSSANO AVERE PRESSIONI RELATIVE NEGATIVE E IN MINIMO È PARI  $P_A - P_a$ .

PIANO DEI CARICHI IDROSTATICI ASSOLUTO E RELATIVO

RECIPIENTE APERTO



$$P_A = \gamma(z_B - z_A) + P_a$$

PRESSIONE  
RELATIVA A  
VACUO OZ  
TANOM P\_a=0

ESISTE B SUL SUPERFICIE:

$$\frac{P_A}{\gamma} + z_A = \frac{P_B}{\gamma} + z_B$$

$$P_A = h \cdot \gamma \quad \text{Dove con } P_a \text{ si indica}$$

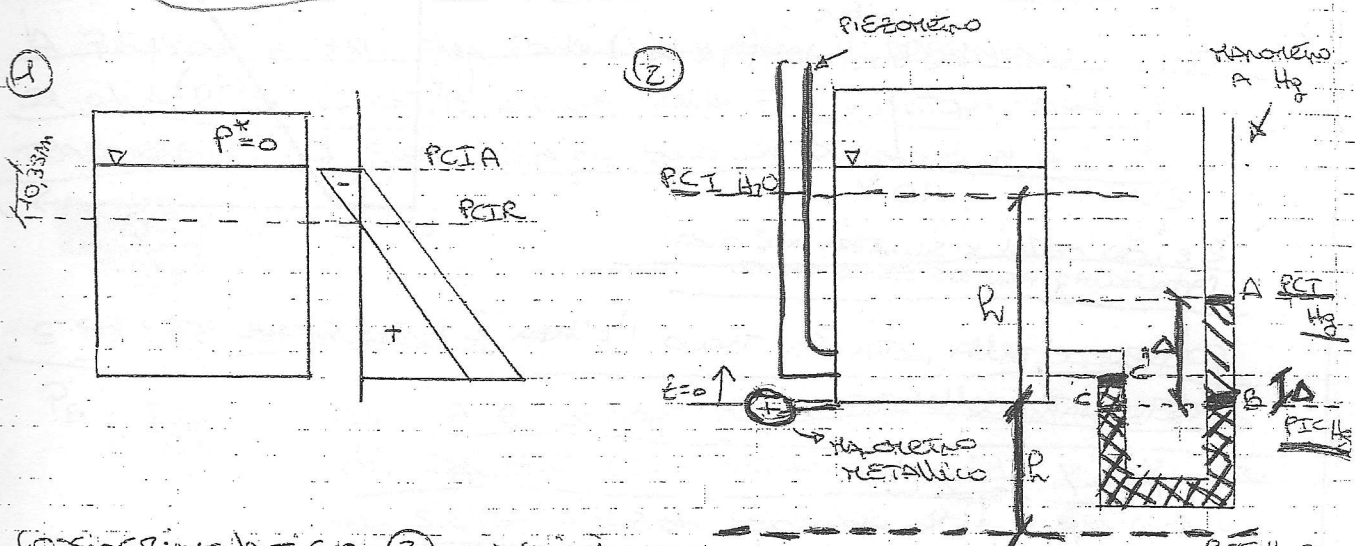
L'AFFONDAMENTO DEL PIANO DEL PIANO DEL VASO

IDROSTATICA RELATIVA; IL PIANO DEI CARICHI IDROSTATICI ASSOLUTO E + ALTO  
DI PESO NELL'ACQUA DI 10,33 m XKE  $\frac{P^*}{\gamma} = \frac{P_A + P_a}{\gamma}$  (SE IL LIQUIDO È  
 $H_2O$ , XKE Hg DI 76 cm)

NOTATO quindi che le pressioni variano LINEARMENTE con l'AFFONDISSO  
e quindi il diagramma delle pressioni (relativo) è di forma triangolare, sommo-  
nito al P.C.I. è pari a zero sul fondo. Per ottenere il diagramma delle  
PRESSIONI ASSOLUTI basta sommare sulla superficie il P.FONDO in segreto  
PARI ALLA PRESSIONE ATMOSFERICA.

A noi comunque ci interessa quello relativo cioè a s.s del recipiente  
(ad esempio) c'è aria quindi il diagramma ① è rettangolo di base Pa  
che quindi si semplifica con ② = dx di base Pa.

Se il RECIPIENTE È OTTUSO:



Consideriamo la figura ② in cui il

livello del mercurio è indicato con la Penna blu: sapendo che le pressioni  
sono positive cioè l'acqua spinge + dell'aria, andrà contro senso:

$$p_B = \gamma_m \cdot \Delta$$

$$\Delta = \text{affond. di } B \text{ sul } p_AIR_Hg$$

$$\frac{z_B + p_B}{\gamma_m} = \frac{z_C + p_C}{\gamma_m}$$

$$\text{Siccome } z_C = z_B \Rightarrow p_C = p_B \text{ cioè } z_C = 0$$

$$\text{ma } p_C = \gamma \cdot h$$

$$\text{com. } h = \text{affond. del } p_AIR_H2O;$$

guardando su ha:

$$\gamma_m \Delta = \gamma h \Rightarrow$$

$$\boxed{\frac{h}{\gamma} = \frac{\gamma_m \Delta}{\gamma}}$$

Considerando SEMPRE LA STESSA FIGURA in cui il livello del Hg è indicato  
con la Penna Rossa: AUNO DELLE PRESSIONI, NEGATIVE cioè l'aria  
spinge di più dell'H<sub>2</sub>O nel serbatoio, applicando SENSO?

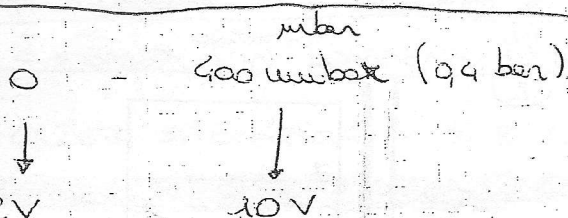
$$P_B = 0$$

$$P_C = -\delta m \Delta \quad \text{e} \quad P_h = \rho h \quad \text{quindi trovo:}$$

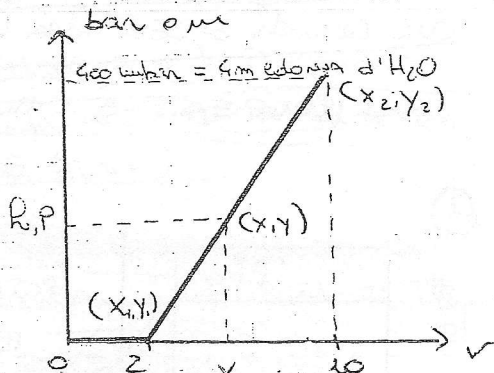
$$h = -\frac{\delta m \Delta}{\rho}$$

[PARENTESI: qui trasduttore di pressione: strumento che misura la pressione e ci indica attraverso  $P = P_h$  la quota del liquido nel sensore. legge allineata ad una certa tensione (lettura a seconda della pressione) determinato

voltaggio secondo legge lineare  $\Rightarrow$



$2 = \frac{10 - 0}{10 - x} \cdot V + 0$   
Applicando formula della retta.



calcolo della retta  $\Rightarrow$  trovo l'intersezione con la pressione zero  $\Rightarrow$  determino collineo.

$$\frac{x_2 - x_1}{y_2 - y_1} = \frac{x_2 - x_1}{y_2 - y_1}$$

$$\frac{4 - 0}{4 - y} = \frac{10 - 2}{10 - x} \Rightarrow \frac{4}{4 - y} = \frac{8}{10 - x} \Rightarrow \frac{4}{8} = \frac{4 - y}{10 - x}$$

$$0,5(10 - x) = (4 - y)$$

$$5 - 0,5x = 4 - y$$

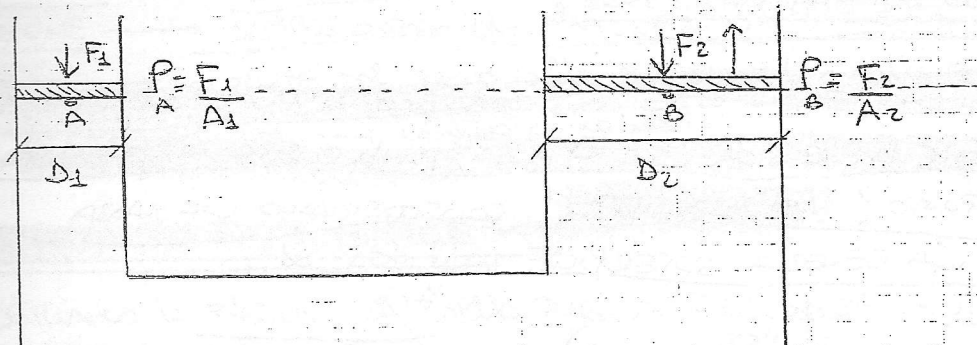
$$-0,5x = -y \Rightarrow \text{con } x = h \text{ e } y = V \text{ ho:}$$

$$h = 0,5V - 1$$

SE si sostituisce nella legge sopra  $V = 2$  ho  $h = 0$  e così  $V = 10$   $h = 4$ .

FINE PARENTESI TRASDUTTORI

## Applicazione Torchio idraulico



La pressione è pari alla forza sulla superficie, indipendentemente di dove si alzino di diametro di una forza  $F_1$ . I pistoni hanno peso trascurabile, nel primo alzano fino alla pressione in A?

$$P_A = \frac{F_1}{A_1}$$

E nel secondo alzino?

$$P_B = \frac{F_2}{A_2}$$

Ma A e B sono alla stessa quota perché presso di chiudere con i pistoni il liquido si è dissodato alla stessa altezza seguendo il principio dei continui idostatici. Quindi:

$$P_A = P_B \text{ vero?}$$

$$\frac{F_1}{A_1} = \frac{F_2}{A_2} \Rightarrow F_2 = F_1 \frac{A_2}{A_1}$$

La forza che bisogna esercitare sul pistone di diametro  $D_1$  è quella nella cui la liquido esercita sul pistone (dal basso verso l'alto) è doppia pressione di quella cui ho esercitato sul pistone di diametro  $D_2$ . Questo è il principio di funzionamento del torchio idraulico e dei freni dell'automobile.

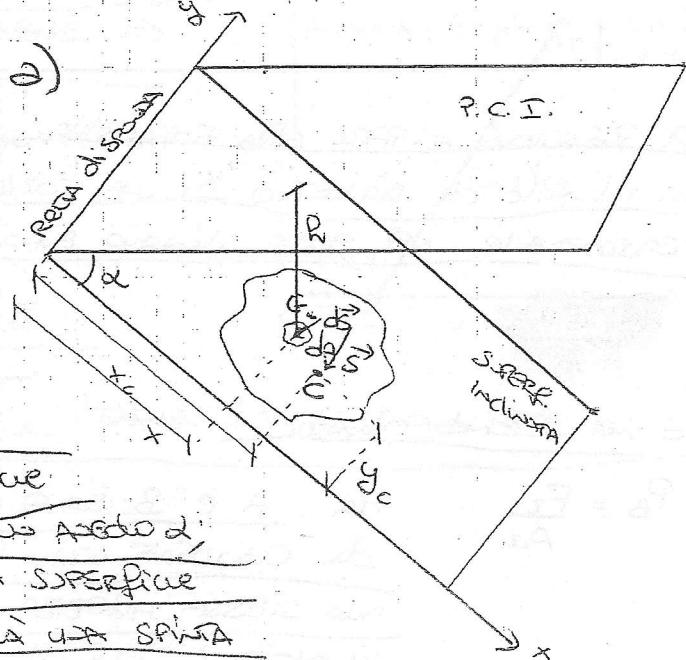
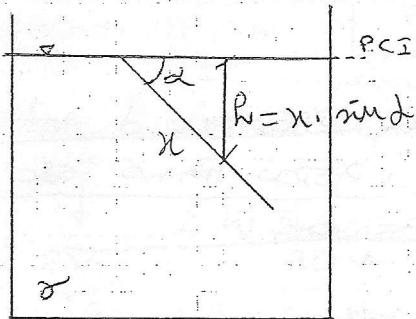
Esso forzabona o come moltiplicatore di forze se ragioniamo da sx verso dx, o come riduttore da dx verso sx

## LEZIONE N° 3

10/03/2011

### SPINTE SU SUPERFICI PIANE

La spinta è una forza e se non conosciamo la pressione, la possiamo calcolare come la pressione per l'area, ma la conoscere altrimenti in quale punto? nel baricentro! considerando una massa d'acqua è una generica superficie inclinata.



vediamo calcolare la spinta cui un liquido esercita sulla superficie  
confronto nel piano inclinato di un arredo d'  
per fare questo consideriamo una superficie  
infinitesima da silla quale agisce una spinta  
infinitesima ds parallela a:

$$d\vec{S} = \rho \cdot \vec{n} \cdot dA$$

In somma di tutte le spinte infinitesime dare la spinta risultante?

$$\vec{S} = \int_A \rho \cdot \vec{n} \cdot dA = \int_A \rho \cdot h \cdot \vec{n} \cdot dA = \int_A \rho \cdot x \cdot \sin \alpha \cdot dA = \rho \cdot \sin \alpha \cdot \int_A x \cdot dA$$

momento statico della sezione

MA  $\int_A x \cdot dA = X_G \cdot A$  dove con  $X_G = \text{distanza del Baricentro dalla Rete di sponda}$

Quindi:  $\vec{S} = \rho \cdot \sin \alpha \cdot X_G \cdot A \vec{n}$

MA  $\sin \alpha \cdot X_G = h_G = \text{distanza del punto G dal P.C.I.}$

$$\vec{S} = \rho h_G \cdot A \vec{n} = P_G A \vec{n}$$

La spinta è un vettore caratterizzato da 4 fattori:

- Modulo  $\rightarrow P \cdot A$  (intensità)
- DIREZIONE  $\rightarrow$  SEMPRE ortogonale alla superficie (direzione di  $\vec{m}$ )
- SENSO  $\rightarrow$  dipende dal senso della pressione (o dalla posizione del PCI)
- Punto di Applicazione  $\rightarrow$  CENTRO di SPINTA!

### CENTRO di SPINTA superficie PIANA (c)

Consideriamo la figura a) della pagina precedente. Si calcola del centro di spinta è sufficiente sapere che il senso della spinta risultante è pari alla somma dei momenti infinitesimi?

Momento di  $S \times$  il braccio  $x_c$

$$Sx_c = \int ds \cdot x = \int p \cdot x \cdot dA = \int \gamma(h) \cdot x \cdot dA = \int \gamma x \cdot (\gamma \sin \alpha) dA$$

$\underbrace{\qquad}_{A} \qquad \underbrace{\qquad}_{A} \qquad \underbrace{\qquad}_{A} \qquad \underbrace{\qquad}_{A}$

Momento infinitesimo di braccio generico  $x$ . con  $h = x \sin \alpha$

$$Sx_c = \gamma \sin \alpha \int x^2 dA \xrightarrow{\substack{\text{momento d'inerzia } I_x \\ \text{rispetto alla linea di spinta}}}$$

$$Sx_c = \gamma \sin \alpha I_x \quad \text{ma } Sx_c = \gamma h G A = x_c$$

Verificando ho:

$$\gamma \sin \alpha I_x = \gamma h G A \cdot x_c \quad \text{ma } hG = x_c \sin \alpha$$

~~$$\sin \alpha I_x = x_c \sin \alpha A \cdot x_c$$~~

Quindi:

$$x_c = g = \frac{I_x}{x_c \cdot A} = \frac{I_x}{M}$$

Centro di spinta  $(x_c, y_c)$

$\Rightarrow$  momento statico rispetto alla linea di spinta

Analogo discorso per la  $y_c$ :

$$Sy_c = \int p \cdot y \cdot dA = \int \gamma h y \cdot dA = \int \gamma xy \sin \alpha \cdot dA = \gamma \sin \alpha \int xy \cdot dA$$

$\Rightarrow$  momento statico rispetto  $I_{xy}$

$$y_c = \frac{I_{xy}}{M}$$

$$\left\{ \begin{array}{l} S = \gamma \cdot h_G \cdot A \\ X_C = \frac{I_0}{M} + X_G \end{array} \right.$$

$$g_c = \frac{I \times g}{M}$$

nel caso di superfici sottereacute (quadrato, rettangolo isoscele)

$I_0 = 0$ ,  $X_C$  l'asse delle  $x$  passa per il baricentro della sezione

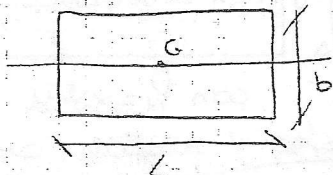
il centro di sezione è più lontano dalla piana di sezione rispetto a

$G$  se il fluido è in pressione + alto se il fluido è in depressione. (nella figura 2) se il fluido è in pressione  $X_C$  il peso considerato si trova sotto a  $P < I$ .)

CENTRO  
di  
SPINNA

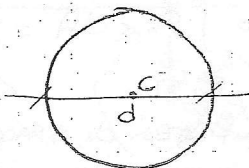
Per figure semplici  $\rightarrow X_C = \frac{I}{M} = \frac{I_0}{M} + \frac{A \cdot X_G^2}{M} = \frac{I_0 + A \cdot X_G^2}{M}$

$I_0 =$  momento d'inerzia della sezione calcolato sull'asse che passa per il suo baricentro



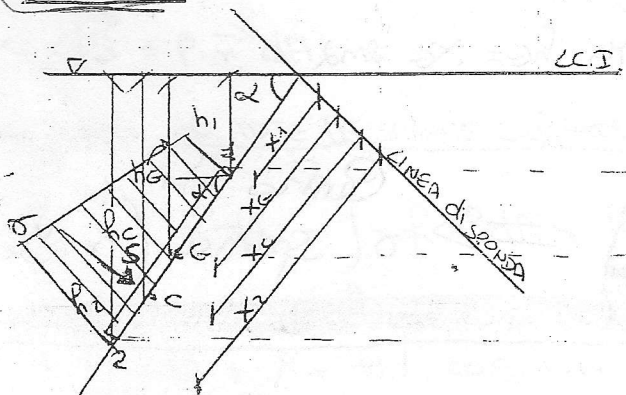
$$I_0 = \frac{1}{12} b^3 \cdot L$$

IN QUADRATO  $b = L$

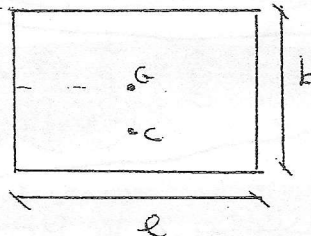


$$I_0 = \frac{\pi}{64} d^4$$

ESSEMPIO



CCII = linea di sezione



consideriamo un parallelogramma (figura 1-2) di un angolo  $\alpha$ ; la sezione che il fluido di peso specifico  $\gamma$  esercita alla testa è:

$$S = \gamma h_G \cdot A = \gamma h_G \cdot b \cdot l = \gamma \cdot b \cdot \sin \alpha \cdot A$$

$X_G = h_G$  se la parte

è verticale

$$h_G = h_1 + \frac{(b \cdot \sin \alpha)}{2} \quad \text{con} \quad b = \frac{h_2 - h_1}{\sin \alpha}$$

C è più baso di G se il fluido è in puntile.

C è più alto di G " " " depressione.

$$S = \gamma \left( h_1 + \frac{(h_2 - h_1)}{2} \cdot \sin(\alpha) \right) \cdot A$$

$$S = \frac{\gamma(h_1 + h_2) A}{2} \quad \text{xchè } h_2 - \frac{h_1}{2} = \frac{h_1}{2}$$

N.B.: LA SPINTA NON SI CALCOLA CON L'AREA DEL DISAGGREGATO DELLE PRESSIONI, MA  
DEL VOLUME DEL DISAGGREGATO DELLE PRESSIONI, XKE' SE CONSIDERNO  
L'AREA DEL TRAPEZIO DIFFERISCE DALLA \* X UNA LUNGHEZZA.

SE vediamo che calcola la risultante di spinta:

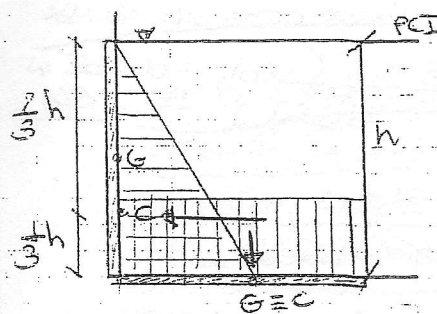
$$X_C = \frac{I_G}{M} + X_G$$

$$X_C = \overline{CG} + X_G$$

$$X_C = \frac{1}{12} \frac{b^3 e}{x_G \cdot A} + X_G$$

{ Diagramme pressioni triangolare:  $C \rightarrow \frac{1}{3}$  base }  
rettangolare:  $C = G$

SE LA PARTE È verticale E IL DISAGGREGATO DELLE PRESSIONI È



TRIANGOLARE IN CENTRO DI SPINTA O

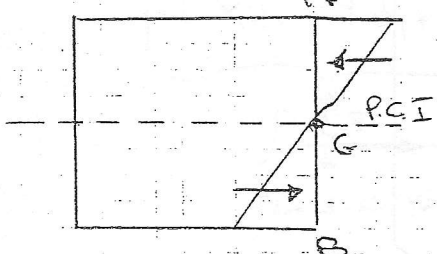
TRA O A  $\frac{2}{3}$  DEL LARGHEZZA DEL TRIANGOLO

O  $\Delta \frac{1}{3}$  DELLA BASE.

SE CONSIDERO LA SPINTA SUL FONDO DEL RECIPIENTE C e G coincidono, quindi il diagramma delle pressioni è un rettangolo (è così)

SE CONSIDERO UN SERBATOIO CHIUSO IN CUI IL PIANO DEL CARICO IDROSTATICO PASSA PER IL BARICENTRO LA SPINTA SULLA PARTE AB

È nulla xke':

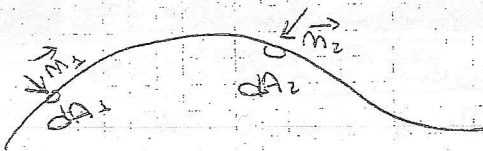


$$S = \gamma h_G \cdot A = 0 \quad * \text{Ker } h_G = \text{Affondamento di } G \text{ dal P.C.I.} \Rightarrow 0$$

IN QUESTO CASO LA PARTE AB VA DIMINUITA COSÌ LA FORZA CHE AGISCE SULLA PARTE, ANCHE SE LA SPINTA (LA RISULTANTE) È NULLA!

## SPINTA SU SUPERFICI CURVE

Consideriamo una superficie curva a costante con del liquido;  
vogliamo calcolare la risultante delle spinte che il liquido esercita sulla  
superficie curva: Metodo delle componenti



$$dS_i = P_i \cdot dA_i \cdot m_i$$

$$dS_1 = P_1 \cdot dA_1 \cdot m_1$$

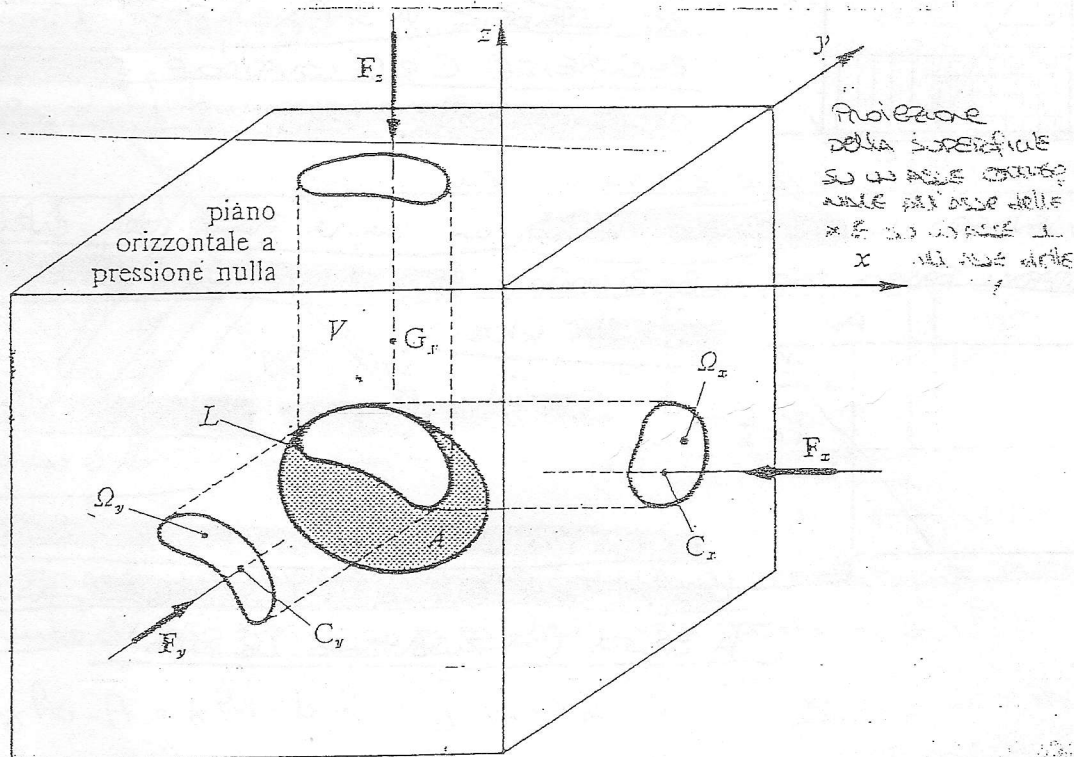
Sulla superficie generica  $dA_i$  agisce una spinta  $dS_i$  con una normale  $m_i$ .  
Così come sulla superficie infinitesima  $dA_i$  agirà una spinta  $dS_i$  con una normale  $m_i$ . Queste spinte infinitesimali non possono essere sommate  
(x calcolare la spinta risultante) perché la direzione delle normali è  
differente e verticalmente non si possono sommare,  
risulta necessario quindi scomporre la vettore  $dS$  lungo le 3 direzioni:

$$dS_x = P_i \cos m_i \cdot dA = P_i dA_x$$

Perché  $dA \cdot \cos m_i$  è la proiezione di  
 $dA$  sull'asse orizzontale all'asse  
delle  $x$ . (vedi notazione in  
basso ‡)

$$dS_y = P_i \cos m_i \cdot dA = P_i dA_y$$

$$dS_z = P_i \cos m_i \cdot dA = P_i dA_z$$



Decomposizione e calcolo delle spinte idrostatiche contro una superficie gobba

A QUESTO PUNTO LE POSSO SCRIVERE CHE AD ESTERNO lungo la superficie  $dA_x$  ho tutti i vettori che hanno la stessa direzione; integrando ottengo:

$$S_x = \int_{A_x} P dA_x = \gamma h_x A_x$$

com  $\gamma_x$  = AFFONDAMENTO DEL BARICENTRO  
della superficie  $A_x$  rispetto  
al P.C.I.

$$S_y = \int_{A_y} P dA_y = \gamma h_y A_y$$

$$S_z = \int_{A_z} P dA_z = \gamma h_z A_z = \gamma W$$

$h_z \cdot A_z$  = PROIEZIONE della superficie  
rispetto ad un piano  $\perp$  a  $A_z$  (tutto!  
caso per  $h_z$  da un lato!)

$$S_0 = \sqrt{S_x^2 + S_y^2} \leftarrow \text{FORZE orizzontali} \quad (S_x \text{ e } S_y \text{ sono } \perp)$$

$$S_v = S_z \leftarrow \text{FORZE verticali}$$

$\times$  la risultante applicabile la TEOREMA di PRINCIPALI

CALCOLO DELLA SPINTA SULLA SUPERFICIE CURVA: METODO EQ. GLOBALE (STATALE DELLE  
FLUIDI)

$$S_r = \sqrt{S_v^2 + S_0^2}$$

N.B.: SE LA SUPERFICIE CURVA È SEMPLICE E LO LINEA DI COSTRIZIONE È  
CONTENUTA IN UN PIANO PER IL CALCOLO DELLA SPINTA CHE IL FLUIDO  
ESERCITA SU TALE SUPERFICIE SI PUÒ RICORRERE AL METODO DELL'EQUAZIONE  
DELL'EQUILIBRIO GLOBALE DELLA STAZIONARITÀ DEL FLUIDO.

NELLE LEZIONI PRECEDENTI, NELLA LEGGE DI STEVENS, HEMMO TATO L'ESPRESSO  
DELLE FORZE DI MASSA E FORZE DI SUPERFICIE QUANDO?

$$P(X dx + Y dy + Z dz) = \underbrace{\frac{\partial P}{\partial x} dx}_{PR} + \underbrace{\frac{\partial P}{\partial y} dy}_{\text{grad } P} + \underbrace{\frac{\partial P}{\partial z} dz}_{\text{grad } P}$$

FORZE DI MASSA X UNITÀ DI MASSA

$$PR = \text{grad } P \rightarrow \text{ESPRESSIONE INDISPENSABILE STAZIONARITÀ DEL FLUIDO.}$$

PER OTTENERE L'ESPRESSIONE GLOBALE È NECESSARIO UNEGRARE IN TUTTO IL  
VOLUME  $V$ :

$$\int p \, d\omega = \int \text{grad } p \, d\omega$$

$w \downarrow$

$$\vec{G} = - \int \vec{P} \, dA = -\vec{\Pi}$$

A

$\vec{G}$  in tensione ( $\vec{G}$  normale è  $16.000 \frac{N}{m^2}$ )

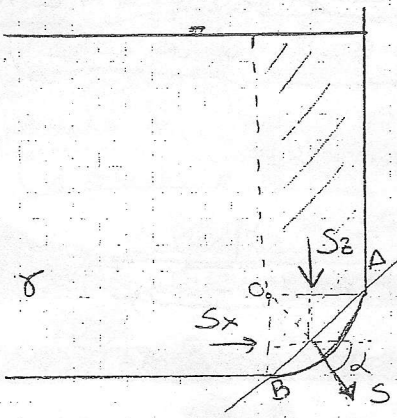
Che mi permette di passare dall'intensità  
stessa al valore a uno stesso della  
superficie.

$$\vec{G} + \sum_i \vec{\Pi}_i = 0$$

EQ. GLOBALE DELL'EQUILIBRIO STANCO DEI FLUIDI

ESEMPIO N°1

con  $\vec{\Pi} =$  forza che tutto l'ambiente estero esercita  
su questo restando la sua stessa dimensione  
volume



### METODO DELLE COMPONENTI

Bisogna considerare la proiezione di questa  
superficie AB su una superficie ortogonale  
all'asse delle  $x$ :  $S_y = 0$  (è la linea); (caso di  
fondo)

$S_x$  = proiezione di AB su z attorno OB di  
area  $A_x$  (SPINTA SU SF. PIANA)

$S_z = \gamma w$  (non  $A_y$  perché non la proietta  
sul fondo; è la linea AB)

$$S = \sqrt{S_x^2 + S_z^2}$$

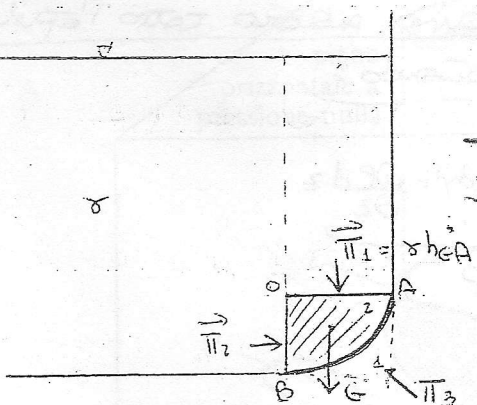
$\times$  trovare l'inclinazione  $\tan \alpha = \frac{S_z}{S_x}$

### METODO DELL'EQUILIBRIO GLOBALE

INDIAMO UN VOLUME DI CONTORNO CHE PUÒ ESSERE ① o ②;  
PENSANDO ②, avendo  $\frac{1}{2}$  di circonferenza:

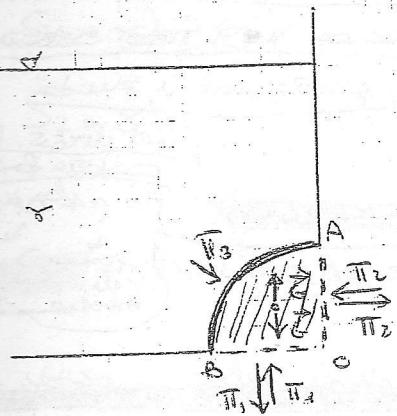
$$\vec{G} + \vec{\Pi}_1 + \vec{\Pi}_2 + \vec{\Pi}_3 = 0$$

$$\vec{S} = -\vec{\Pi}_3 = \vec{G} + \vec{\Pi}_1 + \vec{\Pi}_2$$



con  $\vec{\Pi}_3$  = SPINTA CHE LA SUPERFICIE AB ESERCITA SUL VOLUME DI  
CONTORNO

$\vec{S}$  = SPINTA CHE IL LIQUIDO ESERCITA SULLA SUPERFICIE VERSO AB

ESEMPIO N° 2

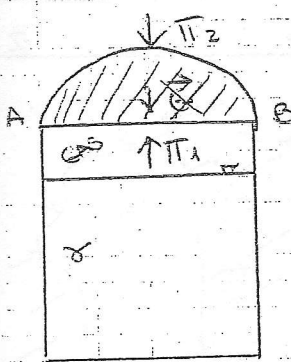
eq. Equilibrio delle forze della struttura

$$\vec{G} + \vec{T}_1 + \vec{T}_2 + \vec{T}_3 = 0$$

$T_3$  = spinta che l'ambiente esterno (in gass o liquido dentro è reciprocamente) esercita sulla sup. AB  
avendo sul nostro valore di contatto finito = S

Cose se il  
fosse  $H_2O$ .

$$S = T_3 = -G - T_1 - T_2 \quad (\text{vettori in rosso})$$

ESEMPIO N° 3

Consideriamo un ambiente in pressione, isolato  
calcolare la spinta sulla superficie curva AB

$$\vec{G} + \sum \vec{T}_i = 0$$

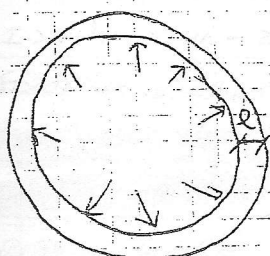
scopriamo il valore di contatto ( $\frac{1}{2}$  sterzo)

$$\cancel{\vec{G}} + \vec{T}_1 + \vec{T}_2 = 0$$

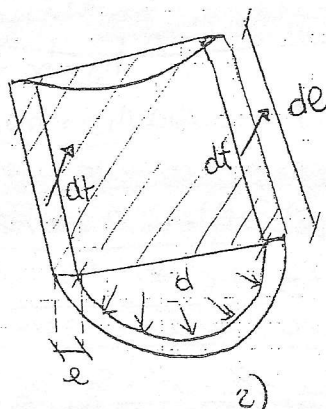
OXKEI GAS HANNO UN PESO SPECIFICO MOLTO BASSO

$$S = -T_2 = T_1 = P \cdot A_{AB}$$

formula di Marote x il calcolo dello spessore dei tubi in funzione della  
tensione di esercizio



1)



2)

$e$  = SPESSEZZO TUBO

$olt$  = Forza che la 2^a metà tubo esercita sulla 1^a

$d$  = DIAMETRO

All'interno di una condotta abbiano un punto che esercita una pressione sul tubo (fig. 1). Immaginiamo di sezionarlo e di considerarne una metà (fig. 2); nel resto in cui lo tagliano, poiché il tubo deve essere in equilibrio, nasceranno delle forze, che la sezione metà tubo esercita sulla superficie di taglio, che devono bilanciare la spinta che il fluido esercita sull'altra metà tubo considerata?

$$S = P \cdot d \cdot de$$

con  $P$  = pressione di esercizio

superficie di taglio

$$P \cdot d \cdot de = 2 dt$$

$$\text{ma } dt = \sigma \cdot e \cdot de$$

nel direz. la  
costante sarà  
 $P = p + \Delta p$   
e  
per le forze  
di estensione

così  $\sigma'$  = carico di sicurezza a trazione che dipende dalla natura del tubo. ( $\sigma' = 0.5 \sigma$ )

quindi il massimo sforzo  $dt$  con cui il tubo può sopportare è funzione di  $\sigma'$ .

Ottengo:

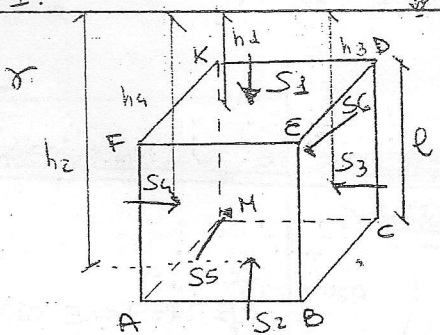
$$P \cdot d \cdot de = 2 \sigma' e \cdot de \quad \text{lo stesso è vero?}$$

$$e = \frac{P \cdot d}{2 \sigma'}$$

→ formula di variaz.

## Princípio di Archimede

P.C.I.



Consideriamo un cubo di lato  $e$   
immerso in un fluido di peso  
specifico  $\gamma$ .

$h_1$  = affioramento del baricentro della  
sup. FKE del P.C.I.

$h_2$  = aff. di ABCM del P.C.I.

$h_3 = h_4$  = aff. di BCDE - AHFC del P.C.I.

$h_5 = h_6$  = aff. di ABEF - KDHG del P.C.I.

essendo  $h_3 = h_4 \Rightarrow S_4 = S_3$

$h_5 = h_6 \Rightarrow S_5 = S_6$

$\uparrow^+$

Quindi

$$S = S_2 - S_1 - S_3 + S_5 + S_6$$

$$S = S_2 - S_1$$

$$S_1 = \gamma h_1 \cdot l^2$$

$$S_2 = \gamma h_2 \cdot l^3 = \gamma (h_1 + l) l^2$$

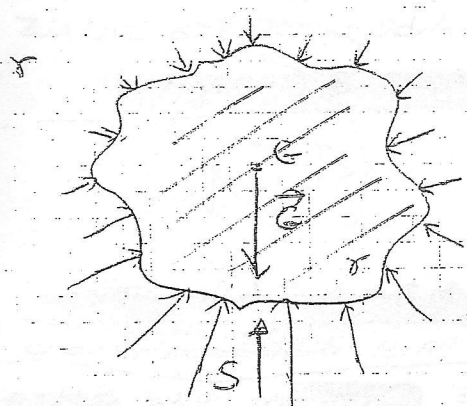
quindi

$$\cancel{S = -\gamma h_1 l^2 + \gamma h_2 l^2 + \gamma l^3} = \underline{\gamma l^3} \text{ modulo di } S$$

il verso è quello della forza ragione  $S_2$ , x cui è di netta verso l'alto.

conservare questo risultato è considerarlo non più un caso, ma un corpo complesso (non semplice) immerso in un liquido e volerlo calcolare la spinta che il liquido esercita su questo corpo.

PCSI



$$S = \sum_i \vec{\Pi}_i = -G$$

consideriamo un corpo come se

fosse pieno di liquido e applicando l'equazione globale della statica:

$$\vec{G} + \sum_i \vec{\Pi}_i = 0$$

$\rightarrow \sum_i \vec{\Pi}_i = \text{risultante che l'ambiente esterno esercita sul corpo} : = S$

$$\text{ma } G = \gamma W \text{ ovvero il risultato questo sopra} *$$

Princípio di Archimede = la spinta che il fluido esercita su un corpo immerso è pari al peso del volume di liquido spostato

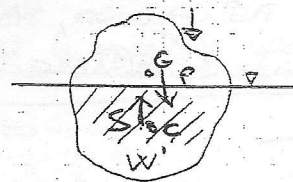
[ l'esempio del caso simile x corpi simili. Il Princípio di Archimede: nel cubo non abbiamo applicato l'equazione globale della statica. In questo si esplicerebbe calcolando la spinta risultante come somma delle spinte che agiscono su ogni superficie faccia del cubo mentre una risultante fermo fatto i due risultati sono identici xke  $G$  in  $\Rightarrow$  cubo  $= \gamma l^3$  ]

N.B. la spinta che un corpo riceve non dipende dall'affondamento in solfato dal peso del volume di liquido spostato \*\*

STABILITÀ DI UN CORPO MATERICO

A SPINA CHE IL FLUIDO ESSERÀ SU UN CORPO MATERICO È PARÙ DI PESO DEL VOLUME DI LIQUIDO SPOSTATO

SE:

•  $P > S \rightarrow$  IL CORPO AFFONDA•  $P = S \rightarrow$  IL CORPO È IN EQUILIBRIO•  $P < S \rightarrow$  IL CORPO galleggia $P =$  PESO DEL CORPO $S =$  SPINA DI ARCHIMEDE

C'è il  
baricentro  
del volume  
di liquido  
spostato

 $G =$  BARICENTRO DEL CORPO

$C =$  CENTRO DI CARENA (BARICENTRO  $V'$  VOLUME DI LIQUIDO SPOSTATO)

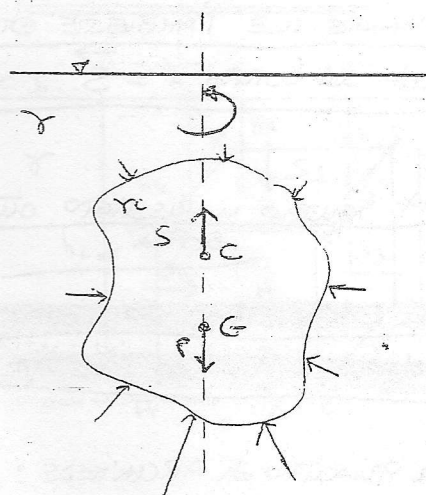
 $G \equiv C$  SE IL CORPO È ORIZZONTALE.

$$S = \gamma V' = \gamma_c V$$

+  
corpo

 $V' =$  VOLUME DI CANTIERACARENA

PER ESSERE IN EQUILIBRIO  $\rightarrow P = S$ , oltre all'equilibrio occorrono studiare la STABILITÀ dei corpi materici. Si possono verificare 3 situazioni di equilibrio:

• EQUILIBRIO INDIFERENTESE  $C \equiv G$  SI TROVANO SULLA STESSAVERTICALE SI HA UN EQUILIBRIO SPURIOPERCHÉ OTTE  $\Sigma F = 0$  HO ANCHE  $\Sigma M = 0$ 

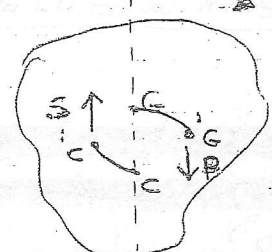
- IL CORPO SI TROVA QUINDI NELLA CONDIZIONE DI EQUILIBRIO INDIFERENTE

PER QUALSIASI ROTAZIONE INTorno ADUN'ASSE VERTICALE E PER QUALSIASIROTAZIONE VERTICALE E ORIZZONTALECHE SE LO RUOTO INTORNO AD UN'ASSEVERTICALE O SE LO RUOTO ORIZZONTALMENTE O VERTICALMENTE NON SUCCEDE

ASSOLUTAMENTE NIENTE E IL CORPO RESTA NELLA NUOVA CONFIGURAZIONE (POICHÉ LO RESTA STATO!)

### • Equilibrio instabile

$$S = P$$

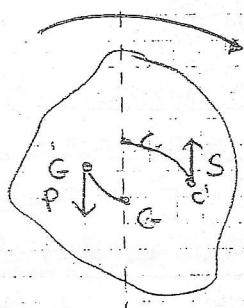


il corpo è in equilibrio perché  $S = P$ ;

consideriamo il caso in cui C si sposta in basso di G e impedisce una rotazione attorno ad un asse orizzontale. Dopo la rotazione G si troverà in  $G'$  e C in  $C'$ . In  $G'$  è applicata  $P$  dinetta verso il basso; in  $C'$  c'è applicata  $S$  dinetta verso l'alto. Nascerà una coppia instabilizzante in senso rotatorio (rotazione) e in senso orario è concorde alla rotazione iniziale, quindi il corpo roterà ulteriormente.

### • Equilibrio stabile

$$S > P$$



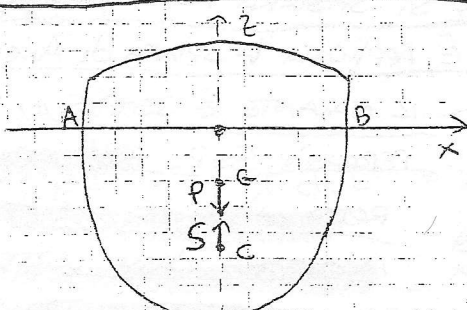
il corpo è anche in equilibrio perché  $S = P$ ;

consideriamo adesso il caso in cui C si sposta in alto rispetto a G e impedisce ancora una rotazione attorno ad un asse orizzontale. In  $C'$  c'è applicata  $S$  dinetta verso l'alto e in  $G'$  è applicata  $P$  dinetta verso il basso. Nascerà una coppia stabilizzante che tenderà a riportare il corpo nello stesso posizionale di equilibrio. (il rotore si muove in senso antiorario)

### Stabilità ed equilibrio dei galleggianti

(CARENNA)

consideriamo un galleggiante (fig. c):



$P = S$  sono in equilibrio; dobbiamo studiare la stabilità. Nel centro di carenna c'è garantita la spinta di Archimede perché nel barattolo  $G$  è applicata la forza peso.

Se dico una rotazione attorno ad un asse orizzontale, ad esempio, il velluto ruota sempre lo stesso, cioè la forza del velluto ruota. Quindi si sposta il centro di carenna. Il velluto non cambia perché il galleggiante comunque in una condizione di equilibrio, come solo

la forza di questo rotore è conseguente al rotolamento di tale rotore (inverso). Effettuando delle notazioni si risulta che il momento di rotazione attorno all'asse  $y$  (perpendicolare al piano del rotore) è:

$$- \text{momento di rotazione} = \text{momento attorno all'asse } y \times (L \text{ al fuoco}).$$

$$(2)$$

Per rotazioni parallele ad asse verticale e traslazioni lungo un asse orizzontale tale l'equilibrio è indifferente.

Per quanto riguarda la stabilità dei natanti, quello cui dà più problemi è il rotolo. Andiamo quindi a studiare la stabilità nel caso di piccole oscillazioni attorno all'asse delle  $y$ . (FIG. D)

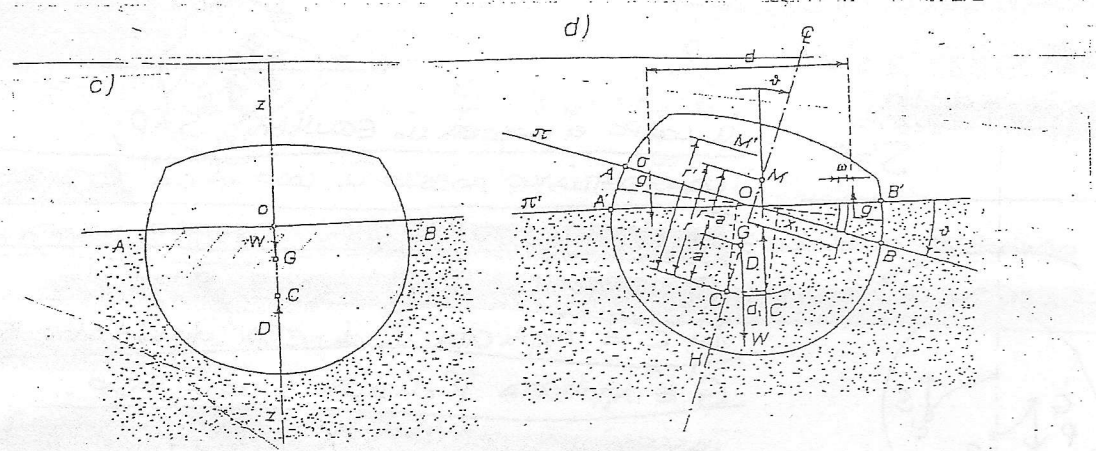
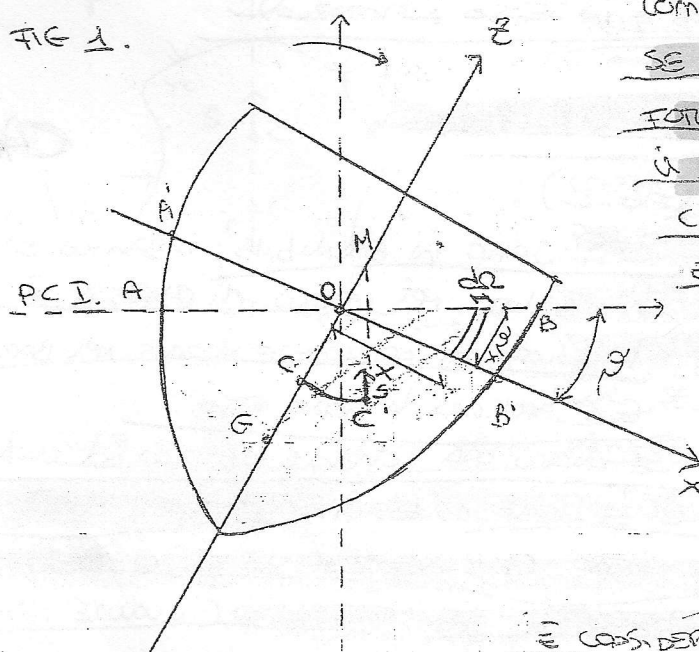


FIG. 1.



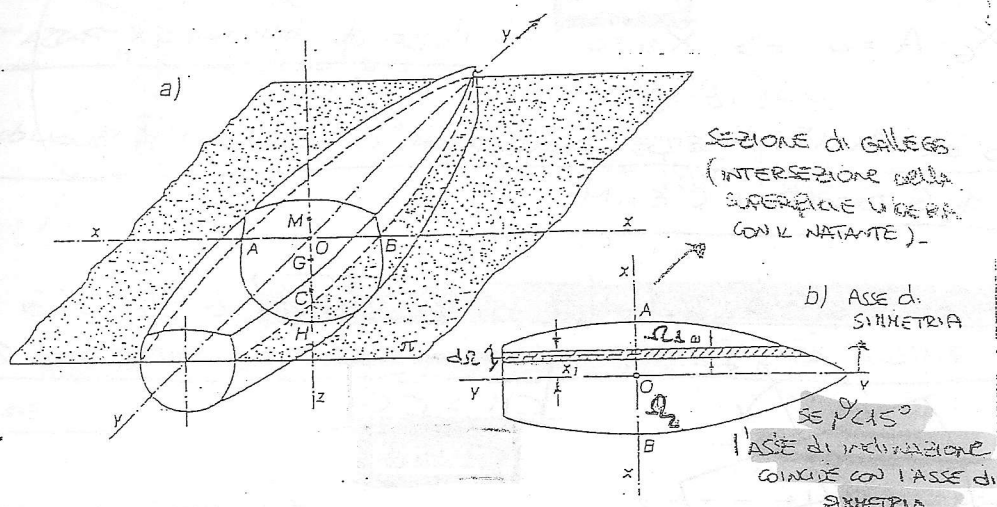
con  $P'$  piccolo.

SE IL NATANTE ROTOLA DI UN'ANGOLAZIONE  $P'$  LA FORZA DEL VOLUME DI CARENA CAMBIA, MA IL VOLUME È SEMPRE LO STESSO; IN CUI SI SPERTERÀ NELLA POSIZIONE C, DOVE È APPLICATA LA SPINTA DI ARCHIMEDE.

IL NATANTE È SEMPRE IN EQUILIBRIO PERCHÉ  $S = P$ . INDIVIDUALE LA RETTA D'AZIONE DI S FINO AD INCIDERE L'ASSE VERTICALE SULLE

Z SI OTTENNE UN RUOTO N CHE PRENDE IL NOME DI METACENTRO, ED È CONSIDERATO IL CENTRO DI CURVATURA DELLA LINEA

Se  $\beta$  varia il punto M si sposta lungo l'asse delle z; se  $\beta = 90^\circ$  il piode si mette in verticale assunendo una posizione critica (non stabile). Questo è vero se  $\alpha \leq 15^\circ$  e inoltre l'asse di simmetria passa per il baricentro della sezione di galleggiamento (fig. b).



Basta dimostrare quindi che per piccole variazioni l'asse di inclinazione passa per il baricentro della sezione di galleggiamento.

Analizziamo la (fig. 1), le aliquote portate dall'angolo da  $0^\circ 33'$  è uguale all'angolo esterno OAA quindi  $R_1 = R_2$ . Considerando una striscia di ampiezza  $dr$  è calcolato il volume:

$$V_1 = \int_{R_1}^R x \tan \beta \, dR = \text{se } \beta \text{ piode} \rightarrow \beta = \tan^{-1} \frac{h}{l}$$

$\downarrow$   
AREA  
altezza

$$= f(x) \, dR \quad \text{ma } V_1 = -V_2 \text{ la sezione è simmetrica si trova dall'altra parte}$$

$$\int_{R_1}^R x^2 \, dR = - \int_{R_2}^{R_1} x^2 \, dR \Rightarrow \int_{R_1}^{R_2} x^2 \, dR + \int_{R_1}^{R_2} x^2 \, dR = 0$$

$$R_1 + R_2 = R$$

$$\int_R x^2 \, dR = 0 \Rightarrow \int_R x \, dR$$

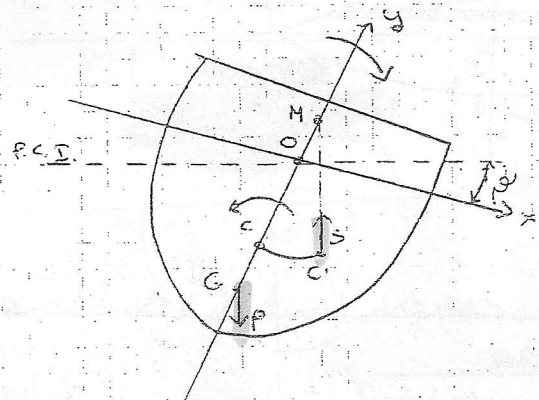
Per il centro di massa  $G$  e il centro di gravità  $C$  in linea retta si ha:

$\int x d\Omega = 0$  da questo integrale rappresenta il momento statico  $M$  della sezione di galleggiamento fatto rispetto all'asse di inclinazione, quindi se  $M=0$

$M = X_G \cdot A = 0 \Rightarrow X_G = 0 \rightarrow$  l'asse di inclinazione passa per  $G$ .

Studiamo quindi le diverse condizioni di equilibrio a seconda della posizione di  $G$  rispetto a  $C$  e a  $M$ .

1)  $G$  più in basso di  $C$  e di  $M$



$$\begin{array}{c} \overline{CM} > \overline{CG} \\ GM > 0 \end{array}$$

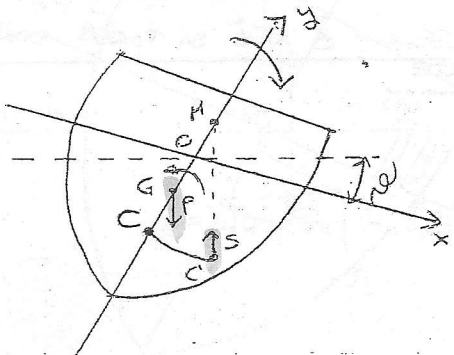
$$\overline{CH} = (y_H - y_C) > 0$$

$$\overline{CG} = (y_G - y_C) < 0$$

$$\overline{GM} = (y_H - y_G) > 0$$

Quindi nel caso in cui  $G$  sotto di  $C$  è sotto di  $H$  in  $GM > 0$  (è una quantità positiva). Siamo nel caso di equilibrio instabile perché la coria che tenderà a riportare l'imbarcazione nella posizione di equilibrio con l'asse delle y orizzontale.

2)  $G$  più in alto di  $C$  e più in basso di  $H$



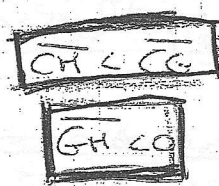
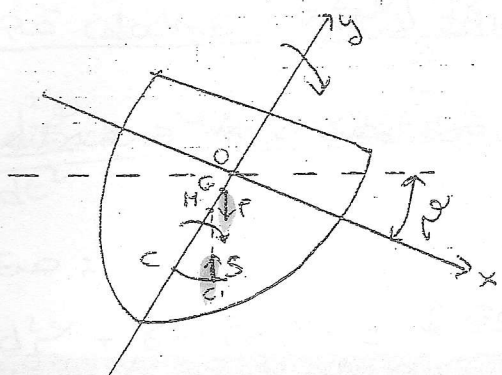
$$\begin{array}{c} \overline{CH} > \overline{CG} \\ GM < 0 \end{array}$$

$$\overline{CH} = (y_H - y_C) > 0$$

$$\overline{CG} = (y_G - y_C) > 0 \quad \text{x} \neq y_G > y_C$$

Anche nel caso in cui  $G$  è più in alto di  $C$  e più in basso di  $H$  in  $GM < 0$ . Quindi l'equilibrio è instabile perché la coria in basso è instabilizzante.

3) G PIÙ IN ALTO DI C È PIÙ IN ALTO DI M



$$\bar{G}_H = (y_H - y_G) \cdot c_o$$

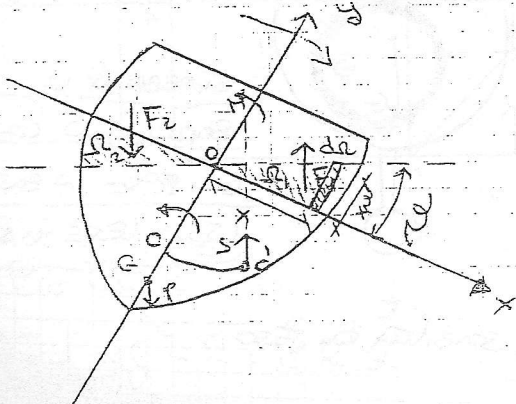
$$\text{perciò } |G_H| > |G_C|$$

Questo è il caso di equilibrio instabile. Al rovescio in cui do la rotazione nascerà una coppia (in rosso) instabilizzante che farà regredire ulteriormente la nave.

### Posizione del Metacentro

Per vedere se la nave è stabile o meno è necessario calcolare la posizione del metacentro. La prima situazione (dove  $y_M < y_G < y_H$ ) è la situazione di equilibrio stabile! Nel processo di un'inversione la quantità  $G_H$  deve essere positiva (comparando la seconda della funzione che l'imbarcazione deve avere la posizione di M e quella di  $G_H$ , è diversa) se l'imbarcazione deve navigare in tutti ruoli nella questa quantità sarà maggiore, nelle navate passate in questa quantità non è molto grande, intorno a 0,45-0,60 m, dove non pescherebbe è 0,90-1,50 m è scorrevole + ruoli perché!).

Abbiamo bisogno di una equazione che ci dia se l'inversione è stabile o meno e che ci dica la posizione di M. imponiamo la condizione che



la coppia stabilizzante della spinta S rispetto a C sarà in seguito alla rotazione sia uguale al ruolo (che fatto lo stesso solo dei volumi, inverso ed opposto, cioè  $S_1$  e  $S_2$ ).

$M_1$  = rovescio stabilizzante di S

$M_2$  = rovescio di  $F_1$  e  $F_2$

$$M = \gamma V_c \cdot \overline{CH}$$

$\overline{CH} = \overline{CG} - \overline{CC}$  = momento della  
spinta S

S

momento generico

$$M_2 = \int \gamma d\Omega x^2 \cdot \hat{x} + \int \gamma d\Omega x^2 \cdot x = \gamma P \int x^2 d\Omega$$

$\int x^2 d\Omega$  SPINTA FA (peso)

Due momenti che ruotano nello stesso senso, sono uguali e opposti  
si ottiene la condizione di stabilità:

$$\gamma V_c \cdot \overline{CH} = \gamma P \int x^2 d\Omega$$

NB 2

$I =$  momento d'inerzia della sezione di collegamento

FIG. b) fatto ruotare attorno all'asse di simmetria

$Ce \times r$  piccolo  $\equiv$  cos l'asse di indirizzo.

Quindi:

$$V_c \cdot \overline{CH} = I \quad \text{che può essere scritto così:}$$

$$\frac{CH}{V_c} = \frac{I}{V_c} > \overline{CG}$$

con  $V_c$  = volume di carica

$\overline{CH} > \overline{CG} \times$  la stabilità

$$|GH| > 0$$

L'effetto momento stabilizzante  $M$  è funzione della distanza  $CH$   
in particolare si ha:

$$M = \gamma V_c \cdot \overline{CH} \cdot g$$

A seconda della funzione dell'incidenza possono essere due posizioni di

E. ESEMPIO:

BARCAETTE IN LITONESE  
o alluminio



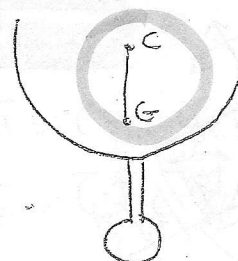
STABILITÀ di FORZA

(con una piccola rotazione)

il C si sposta più vicino al

baricentro di C aumenta quindi aumenta la stabilità.

BARCA A VELA



SI ABBASTA il  
baricentro con  
il peso in basso  
(sia legge di Archimede)

STABILITÀ di PESO

### Periodo di oscillazione del rotante

Si può calcolare a partire dall'equazione differenziale del rotolo

$$I \frac{d\theta}{dt^2} = -M_{fr} = -\gamma V_c G H \theta$$

il segno - dice che forza stabilita'

sono diverse in senso opposto (caso)

la forza peso è diretta verso il basso

avendo:

$$I \frac{d\theta}{dt^2} + \gamma V_c G H \theta = 0$$

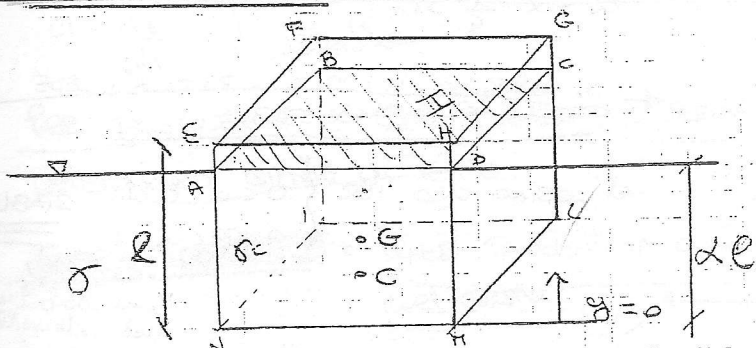
A soluzione di questa equazione differenziale al scalo adice è:

$$T = 2\pi \sqrt{\frac{I}{\gamma V_c G H}}$$

il GH si trova al denominatore  $\propto$  cui + GH è grande più T diminuisce.

Se il periodo di oscillazione è breve sarà subito a vicenda in rotolo che dopo una rotazione il rotante tornerà velocemente nella posizione di equilibrio iniziale; ecco perché nelle NAM prosegue la distanza. Se è piccola e si preferisca aumentare il conforto si discarta della stabilità in quanto GH grande forti accelerazioni e periodi di oscillazione brevi.

### ESEMPIO STABILITÀ



consideriamo un cubo di  
peso specifico  $\delta c - u$   
cubo collegia quindi  $P = S$ .  
il lato è pari a  $l$  e  $u$   
lato minore è pari ad  $d$   
con  $\alpha$  che va da 0 a 1.

$$P = \delta c \cdot l^3$$

$$S = \delta l^2 \cdot l = \delta l^3$$

Volume  
immerso

poiché il corpo è in equilibrio pesa sottane.

$$P \Rightarrow S \Rightarrow \gamma_C F = \gamma_F \rho g l$$

avendo  $\alpha = \frac{\gamma_C}{\gamma_F}$

$0 \rightarrow$  VESO TUTTO ESTERNO

$1 \rightarrow$  VESO TUTTO INTERNO

con  $\alpha =$  AFFONDAMENTO DEL CORPO E DISSIDE DAL RAPPORTO DEI PESI SCUFA.

b) condizione di STABILITÀ è:

$$\frac{I}{V_C} > \overline{CG}$$

ovvero  $\overline{CG} < \overline{CM}$

$$\frac{I}{V_C} = \frac{\frac{1}{12} \ell^3 \cdot \ell}{\alpha \ell^3} = \frac{1}{12\alpha}$$

con  $I =$  TORCETO DI INERZIA A.R. DI  
GALLEGG. (ABCD)

calcoliamo  $\overline{CG} = (y_G - y_C)$

$$y_C = \frac{\alpha \ell}{2}$$

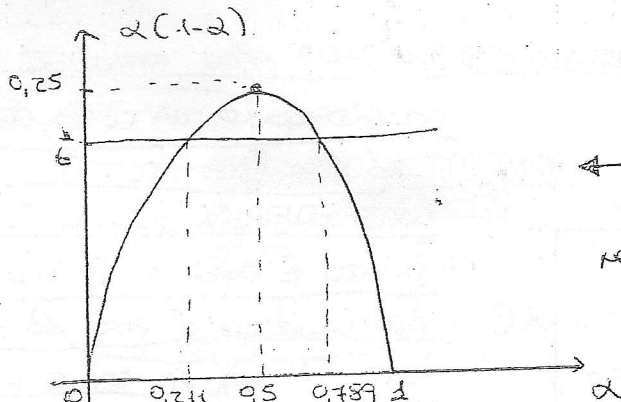
$$y_G = \frac{\ell}{2} \Rightarrow \overline{CG} = \frac{\ell}{2} - \alpha \frac{\ell}{2} = \frac{\ell}{2}(1-\alpha)$$

Quindi:

$$\frac{\ell}{2} > \frac{\ell}{2}(1-\alpha) \Rightarrow \frac{1}{2} > \alpha(1-\alpha)$$

con  $\alpha$  variabile  
 $P(\frac{\overline{CG}}{\ell})$

calcoliamo quindi x quali valori di  $\alpha$  si verifica la disegualanza.



$\alpha - \alpha^2 - \frac{1}{2} > 0 \Rightarrow$  qui non è il contrappos.

si costruisce la curva x punti di sede  
onde è il punto STABILE.

nel nostro caso per  $\left\{ \begin{array}{l} 0 < \alpha < 0,25 \\ 0,789 < \alpha < 1 \end{array} \right.$  STABILE

Come stabiliscono  
questi intervalli

ora posso calcolare la  $y_H$ ?

$$\overline{CM} = \frac{I}{V_C} \Rightarrow y_H - y_C = \frac{I}{V_C} \quad \text{Quindi:}$$

$$y_H = y_C + \frac{I}{V_C}$$

→ POSIZIONE DEL RESTAURANTE.